

ТЕОРИЯ КВАЗИБАЛЛИСТИЧЕСКОГО ТРАНСПОРТА ЭЛЕКТРОНОВ В БИПОЛЯРНОМ ГЕТЕРОТРАНЗИСТОРЕ С СИЛЬНО ЛЕГИРОВАННОЙ СУБМИКРОННОЙ БАЗОЙ

Константинов О. В., Мезрин О. А., Трошков С. И.

Разработан метод решения кинетического уравнения Больцмана для релаксации энергии горячих электронов в тонкой *p*-базе гетеротранзистора на плазмонах и оптических фононах (толщина базы меньше длины свободного пробега на фононах). Учитывается лишь однократное рассеяние горячего электрона на оптических фононах, которое приводит к значительному изменению направления скорости электрона. Это приближение справедливо при относительно высокой концентрации дырок в базе, например, для арсенида галлия порядка или более 10^{18} см^{-3} . Полученное решение позволяет рассчитывать коэффициент усиления биполярного гетеротранзистора. Численный расчет, проведенный для системы AlGaAs—GaAs, дает результат, совпадающий с известными экспериментальными значениями коэффициента усиления. Наблюдаемые высокие значения коэффициента усиления объясняются совместным действием двух механизмов прохождения базы инжектированными электронами — квазибаллистическим пролетом горячих электронов и диффузионным выносом оставшихся, так что результирующий коэффициент усиления приближенно равен произведению двух парциальных коэффициентов, относящихся к этим механизмам. Баллистический коэффициент в системе AlGaAs—GaAs составляет величину ~ 20 , тогда как диффузионный — $\sim 10^3$ (при толщине базы $\sim 0.1 \text{ мкм}$). Проведено сравнение аналитического метода с результатом моделирования по методу Монте-Карло, демонстрирующее их хорошее согласие.

1. Введение. В нашей работе [1] был изучен баллистический перенос горячих электронов через субмикронную базу биполярного гетеротранзистора с широкозонным эмиттером. Гетеропереход на границе эмиттер—база предполагался резким, так что в базу инжектируются горячие электроны с энергией, равной разрыву в зоне проводимости, как это показано на рис. 1, *a*. При этом предполагалось, что релаксация энергии и импульса инжектированных электронов происходит за счет рассеяния на оптических фононах, и была рассчитана вероятность баллистического пролета электронов через базу, пренебрегалось потерями энергии электронов за счет испускания плазмонов и за счет малоуглового рассеяния на тяжелых дырках с перебросом их в подзону легких дырок. Приводимые там оценки показывают, что такое приближение справедливо при относительно малых концентрациях дырок в базе, до $N_d = 10^{17} \text{ см}^{-3}$ в случае GaAs. Однако при толщине базы $b < 10^3 \text{ \AA}$ она обычно легирована сильнее ($N_d \geq 10^{18} \text{ см}^{-3}$, N_d — концентрация мелких ионизованных акцепторов в базе) с целью уменьшения сопротивления базы. Для таких транзисторов теория, развитая в [1], неприменима. Между тем вычисление коэффициента усиления транзисторов по-прежнему остается актуальной задачей, несмотря на существующий метод численного моделирования [2—4]. Дело в том, что полученные экспериментально высокие его значения [5, 6] фактически не могут быть объяснены в рамках обычной диффузионной теории (без учета баллистического переноса горячих электронов через базу). В экспериментальных работах [5, 6] по биполярным гетеротранзисторам с субмикронной базой для объяснения высокого значения коэффициента усиления ($K \sim 5 \cdot 10^4$) используется обычная диффузионная теория для оставшихся электронов, в рамках которой столь большой коэффициент усиления можно получить, только предполагая неправдоподобно большую величину диффузионной длины L_D инжекти-

рованных электронов в сильно легированной *p*-базе, $L_D \geq 15$ мкм. Однако для GaAs *p*-типа при $N_A \geq 10^{18}$ см⁻³ значение диффузионной длины находится в пределах 2–3 мкм. Поэтому высокое значение коэффициента усиления невозможно объяснить без учета квазибаллистического транспорта горячих носителей через базу. Суть дела состоит в том, что большая часть электронов проскаивает через базу в коллектор, не успев остыть, и лишь малая часть остывает в базе и испытывает в дальнейшем диффузионный вынос в коллектор.

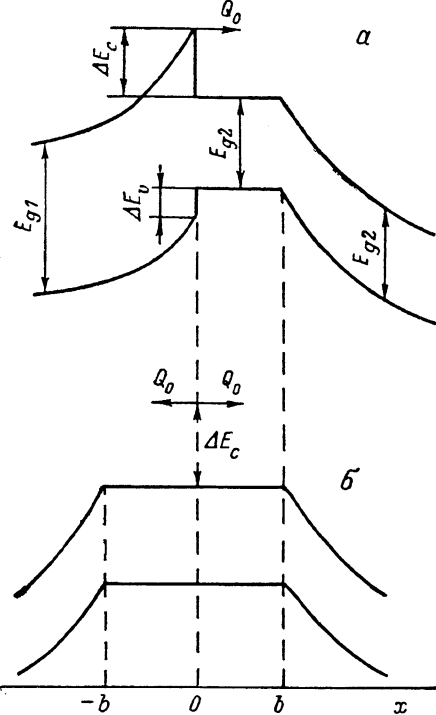


Рис. 1. Зонная диаграмма гетеротранзистора (а) и модель двойного инжектора для учета зеркального отражения электронов на эмиттерном барьере (б).

Эта ситуация иллюстрируется результатами расчетов, проделанных далее и представленных на рис. 2. На нем приведены величины p_0 , p_1 и p_{-1} , которые представляют собой вероятность того, что электрон остынет в базе и не уйдет в кол-

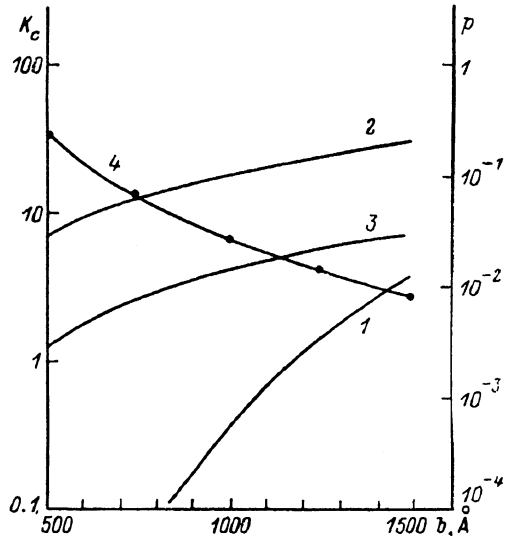


Рис. 2. Зависимость вероятностей остыния электрона в базе p_0 (1), p_1 (2), p_{-1} (3) (правая шкала) и коэффициента усиления K_c (4) на горячих электронах (левая шкала) от толщины базы b .

Концентрация дырок в базе $N_A = 10^{18}$ см⁻³.

лектор горячим. Они вычисляются по формулам (44). При этом вероятность p_0 соответствует тому, что электрон остынет только за счет испускания плазмонов; вероятность p_1 соответствует остынию за счет испускания одного оптического фонона и серии плазмонов; p_{-1} — такая же величина, но для поглощения одного оптического фонона. Как показано далее, процессы испускания или поглощения двух и большего числа фононов за время пролета электрона в базе можно не учитывать, если концентрация дырок в базе $N_A \geq 10^{18}$ см⁻³. Вероятность испускания одного плазмона существенно больше вероятности испускания фонона. Однако обращает на себя внимание тот факт, что вероятности p_1 и p_{-1} существенно превосходят вероятность бесфононного остыния p_0 . Дело в том, что горячие электроны инжектируются эмиттером направленным потоком в сторону коллектора. При испускании плазмонов электрон практически не меняет направления движения и, остывая, продолжает лететь к коллектору. Однако при испускании оптического фонона электрон хоть и не с очень большой вероятностью, но все же может изменить направление скорости на угол порядка 90°. Такие электроны практически все останавливаются в базе за счет последующего испускания плазмонов. Поэтому фононное рассеяние оказывает доминирующее влияние на остыние электронов в базе, несмотря на его малую вероятность. Полная вероятность P является суммой p_0 , p_1 и p_{-1} . Так,

например, при толщине базы $b=10^3 \text{ \AA}$ $P=1/7$; это означает, что шесть электронов из семи инжектированных улетают горячими в коллектор, а один остывает в базе. Коэффициент усиления K_c на горячих электронах, вычисленный по формуле (18), практически равен P^{-1} . Его зависимость от толщины базы приведена на рис. 2. Точками изображены результаты численного моделирования по методу Монте-Карло с учетом многократных рассеяний на плазмонах и фононах. Видно, что вклад от многократного рассеяния на фононах [не учтенных в формулах (40) и (44)] не превышает нескольких процентов. Заметим, что коэффициент усиления на горячих электронах K_c соответствует временам релаксации, сравнимым с временем проleta базы горячим носителем ($\sim 0.1 \div 0.2$ пс). Величина коэффициента усиления на больших временах релаксации ($\sim 10 \div 30$ пс)

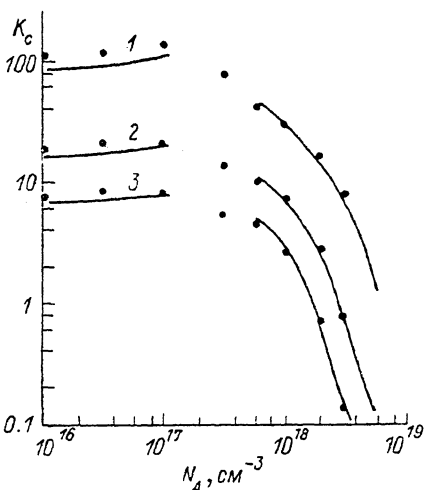


Рис. 3. Зависимость коэффициента усиления K_c на горячих электронах от концентрации дырок N_A в базе.

Кривые соответствуют величине b , \AA : 1 — 500, 2 — 1000, 3 — 1500. Сплошные кривые: при $N_A \leq 10^{17} \text{ см}^{-3}$ — по формулам работы [1], при $N_A \geq 10^{18} \text{ см}^{-3}$ — по формулам настоящей работы; точками показан расчет по методу Монте-Карло.

равна произведению $P^{-1} \cdot K_D$. Здесь K_D , согласно [1], равен $3(L_D/b)^2$ и обусловлен диффузионным выносом остывших носителей. Произведение $P^{-1} \cdot K_D$ может достигать величины $\sim 5 \cdot 10^4$ при диффузионной длине $L_D=2 \div 3$ мкм.

Предложенное в этой работе приближение однократного рассеяния на фононах справедливо при концентрациях дырок выше $N_A=10^{18} \text{ см}^{-3}$. Теория [1], не учитывающая плазменного и дырочного рассеяния, справедлива при $N_A \leq 10^{17} \text{ см}^{-3}$. На рис. 3 представлены зависимости коэффициента усиления на горячих электронах от концентрации дырок при различных толщинах базы. Сплошные кривые при $N_A \leq 10^{17} \text{ см}^{-3}$ рассчитаны по формулам работы [1], а при $N_A \geq 10^{18} \text{ см}^{-3}$ — с помощью формул (18), (40) и (44). Точками показаны результаты, полученные методом Монте-Карло. Видно, что теория и численное моделирование дают практически совпадающие результаты во всем интервале концентраций, за исключением небольшой области, где не работают ни та, ни другая теории.

2. Система кинетических уравнений в методе моноэнергетических групп. В нашей работе [1] была предложена методика преобразования кинетического уравнения для случая, когда электрон теряет энергию на оптических фононах, причем пренебрегалось их дисперсией. Тогда горячие электроны распределяются

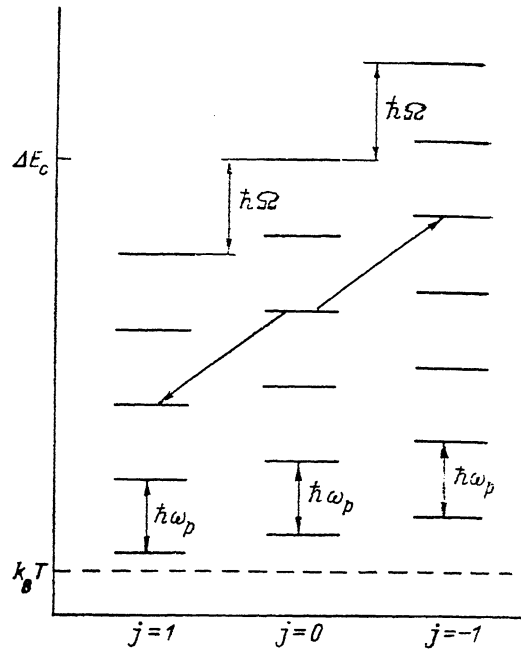


Рис. 4. Схема энергетических уровней горячих электронов в базе гетеротранзистора.

Центральная «лестница» соответствует бесфононному остынию электронов в базе, левая — при однократном испускании фонона и последующем испускании плазмонов, правая — то же, но при однократном поглощении фонона. Стрелками показаны переходы электрона между этими тремя лестницами уровняй.

по моноэнергетическим группам, расстояние между которыми равно энергии оптического фона. В настоящей работе мы учитываем также и потери энергии электронов при испускании плазмонов, дисперсией которых мы также пренебрегаем. Очевидно, что метод моноэнергетических групп применим и в этом случае. Аналогично [1] представим функцию распределения горячих электронов, инжектированных в базу,

$$f(\mathbf{k}, x) = f(\varepsilon_{\mathbf{k}}, \mu, x) = \sum_{n,j} \rho_{n,j}^{-1} f_{n,j}(\mu, x) \delta(\varepsilon_{\mathbf{k}} - E_{n,j}). \quad (1)$$

Здесь $\hbar k$ — квазимпульс электрона, $\varepsilon_{\mathbf{k}}$ — его энергия, $\mu = \cos \theta$, где θ — угол между квазимпульсом электрона и осью x , направленной по нормали к плоскости гетероперехода. Величина

$$E_{n,j} = E - n\hbar\omega_p - j\hbar\Omega; \quad E_{n,j} = \hbar^2 k_{n,j}^2 / 2m_c \quad (2)$$

есть энергия моноэнергетической группы электронов, потерявших j оптических фононов (с энергией $\hbar\Omega$) и n плазмонов (с энергией $\hbar\omega_p$). Плотность состояний $\rho_{n,j}$ в этой моноэнергетической группе определяется обычной формулой

$$\rho_{n,j} = \frac{2}{(2\pi)^3} \int d^3 k \delta(\varepsilon_{\mathbf{k}} - E_{n,j}) = \frac{m_c}{4\pi^2 \hbar^2} k_{n,j}, \quad (3)$$

где $\delta(\varepsilon)$ — дельта-функция Дирака. Последние из равенств в формулах (2) и (3) справедливы для изотропной квадратичной зоны с эффективной массой m_c в зоне проводимости. Концентрация электронов определяется через функции распределения в моноэнергетических группах следующим образом:

$$n(x) = \frac{2}{(2\pi)^3} \int d^3 k f(\mathbf{k}, x) = \sum_{n,j} \frac{1}{2} \int_{-1}^1 f_{n,j}(\mu, x) d\mu. \quad (4)$$

Функции распределения $f_{n,j}$ удовлетворяют системе кинетических уравнений

$$\mu v_{n,j} \frac{\partial f_{n,j}}{\partial x} + (v_{n,j}^\omega + v_{n,j}^\Omega) f_{n,j} = g_{n,j}^\omega + g_{n,j}^\Omega. \quad (5)$$

Здесь $v_{n,j}$ — скорость электронов с энергией $E_{n,j}$, $v_{n,j}^\Omega$ — частота релаксации электрона на оптических фононах, $v_{n,j}^\omega$ — частота испускания плазмона:

$$v_{n,j}^\omega = \frac{2\pi\Delta_{n,j}v_{n,j}N_A e^4}{\epsilon_0^2 E_{n,j} \hbar \omega_p}, \quad \omega_p^2 = \frac{4\pi N_A e^2}{\epsilon_0 k_B T}, \quad \Delta_{n,j} = \frac{1}{2} \ln \left(1 + \frac{E_{n,j}}{k_B T} \right), \quad (6)$$

где ϵ_0 — статическая диэлектрическая проницаемость полупроводника, $k_B T$ — тепловая энергия. Частота релаксации электрона на оптических фононах складывается из частоты испускания и поглощения фононов:

$$v_{n,j}^\Omega = v_{n,j}^\omega + v_{n,j}^\alpha, \\ v_{n,j}^\alpha = \frac{v_{n,j}}{a_B^*} \frac{\hbar\Omega}{2E_{n,j}} (N_\Omega + 1) \lambda_{n,j}^{(+1)}, \quad v_{n,j}^\omega = \frac{v_{n,j}}{a_B^*} \frac{\hbar\Omega}{2E_{n,j}} N_\Omega \lambda_{n,j}^{(-1)}, \\ a_B^* = \hbar^2 / m_c e e^*, \quad e^* = e (\epsilon_\infty^{-1} - \epsilon_0^{-1}), \quad (7)$$

где a_B^* — эффективный боровский радиус, ϵ_∞ — высокочастотная диэлектрическая проницаемость. Для арсенида галлия $a_B^* \approx 600 \text{ \AA}$. Величина N_Ω — планковское число фононов, при $T = 300 \text{ K}$ для GaAs имеем $N_\Omega \approx 0.33$. Величина $\lambda_{n,j}^{(\pm 1)}$ дается выражением

$$\lambda_{n,j}^{(\pm)} = \frac{1}{2} \ln \left(\frac{I_{n,j}^{(\pm 1)} + 1}{I_{n,j}^{(\pm 1)} - 1} \right), \quad I_{n,j}^{(\pm 1)} = 1 + 2\gamma_{n,j}^{(\pm 1)}, \quad (8)$$

$$\gamma_{n,j}^{(\pm 1)} = \frac{(\sqrt{E_{n,j} \mp 1} - \sqrt{E_{n,j}})^2 + \hbar^2 \omega^2 / 2m_c}{4 (E_{n,j} \mp 1 E_{n,j})^{1/2}}, \quad (9)$$

где x^{-1} — дебаевский радиус экранирования дырками в p -базе. Функции генерации $g_{n,j}^\omega$ и $g_{n,j}^a$, входящие в формулу (5), даются выражениями

$$g_{n,j}^\omega = v_{n-1,j}^\omega f_{n-1,j}, \quad g_{n,j}^a = g_{n,j}^e + g_{n,j}^a, \quad (10)$$

$$g_{n,j}^e = \rho_{n,j}(N_\Omega + 1) \frac{1}{4} \int_{-1}^1 d\mu' w_{n,j}^{(\pm 1)}(\mu, \mu') f_{n,j-1}(\mu', x), \quad (11)$$

$$g_{n,j}^a = \rho_{n,j} N_\Omega \frac{1}{4} \int_{-1}^1 d\mu' w_{n,j}^{(-1)}(\mu, \mu') f_{n,j+1}(\mu', x),$$

где

$$w_{n,j}^{(\pm 1)}(\mu, \mu') = \frac{2\pi^2 e e^* \Omega}{k_{n,j} k_{n,j \mp 1} \lambda_{n,j}} F_{n,j}^{(\pm 1)}(\mu, \mu'),$$

$$F_{n,j}^{(\pm 1)}(\mu, \mu') = \{(1 - \mu^2)[(I_{n,j}^{(\pm 1)})^2 - 1] + [I_{n,j}^{(\pm 1)}\mu - \mu']^2\}^{-1/2}. \quad (12)$$

3. Приближение однократного рассеяния электрона на оптическом фононе. Рассмотрим случай достаточно сильно легированной p -базы, когда длина полной потери энергии горячего электрона на плазмонах оказывается порядка длины свободного пробега по отношению к рассеянию на оптическом фононе. Например, для GaAs при $N_A = 10^{18} \text{ см}^{-3}$ длина остыивания на плазмонах составляет 2500 \AA , а длина пробега на оптических фононах 2400 \AA при энергии $E = -0.2 \text{ эВ}$. Очевидно, что в таких условиях за время остыивания электрон рассеивается не более 1 раза на оптическом фононе. Поэтому в уравнениях (5) следует учесть лишь один единственный акт испускания (или поглощения) оптического фонона. Тогда индекс j , входящий в уравнение (2) и последующие, может принимать лишь три значения:

$$j = -1, 0, 1. \quad (13)$$

Случай $j = -1$ соответствует поглощению оптического фонона и испусканию серии плазмонов, $j = 0$ — бесфононному остыанию на плазмонах, $j = 1$ — испусканию одного оптического фонона и серии плазмонов. Энергии «уровней», соответствующих этим трем случаям, образуют три «лестницы» эквидистантных уровней, расстояние между ступенями которых равно энергии плазмона. Эти лестницы изображены на рис. 4, причем переход электрона с испусканием или поглощением оптического фонона показан стрелкой. По центральной лестнице электрон пересекает, испуская только плазмоны. Таким образом, существуют всего две возможности остыивания электронов в базе — без рассеяния на оптическом фононе и с однократным рассеянием на оптическом фононе в процессе остыивания. В первом случае нас будет интересовать функция $f_{N,0}^0$, где $N = \text{Int}[(E - k_B T)/\hbar\omega_p]$ есть целая часть отношения $(E - k_B T)/\hbar\omega_p$, во втором — две функции $f_{m,1}^s(\mu, x)$ и $f_{m,-1}^s(\mu, x)$, где

$$m + s = \text{Int}[(E - \hbar\Omega - k_B T)/\hbar\omega_p], \quad m' + s' = \text{Int}[(E + \hbar\Omega - k_B T)/\hbar\omega_p]. \quad (14)$$

Сами же m и s (или m' и s') — любые неотрицательные целые числа, лишь бы их сумма удовлетворяла условиям (14). Число плазмонов, испущенных до рассеяния на оптическом фононе, равно m (или m'), а s (или s') — это число плазмонов, испущенных после рассеяния на оптическом фононе. Функции $f_{m,j}^s$ удовлетворяют уравнению (5).

При решении системы уравнений (5) следует учитывать зеркальное отражение электронов от потенциального барьера на эмиттерном гетеропереходе. Эту часть задачи можно упростить, если формально рассмотреть базу с удвоенной толщиной ($-b \leq x \leq b$), в центре которой ($x=0$) расположен эмиттер горячих электронов, инжектирующий направленный поток с плотностью Q_0 в правую часть базы (в сторону положительных x) и направленный поток с плотностью Q_0 в левую часть базы (в сторону отрицательных x), как это изображено на рис. 1, б. При этом мы можем считать, что в центре такой удвоенной базы (т. е. в точке $x=0$, где расположен эмиттер) уже нет никакого потенциаль-

ного барьера. Тогда исходная функция генерации горячих электронов будет иметь вид

$$g_{0,0}(\mu, x) = 2Q_0 [\delta(1-\mu)\delta(x-\sigma) + \delta(1+\mu)\delta(x+\sigma)]_{\sigma=0}. \quad (15)$$

Величина σ описывает бесконечно малое смещение инжектора от центра; в конечных выражениях следует положить $\sigma=0$. Решая систему (5) с начальной функцией генерации (15), можно получить упомянутые выше функции $f_{m,j}^s(\mu, x)$. С их помощью находятся вероятности $p_{m,j}^s$ электрону остаться в базе после остыния:

$$p_{m,j}^s = \frac{v_{m+s,j}}{2Q_0} \int_{-b}^b dx \frac{1}{2} \int_{-1}^1 d\mu f_{m,j}^s(\mu, x). \quad (16)$$

Полная вероятность P электрону остаться в базе равна, очевидно, сумме частных вероятностей (16):

$$P = \sum_{m,j} p_{m,j}^s; \quad m+s = \text{Int}[(E - k_B T - j\hbar\Omega)/\hbar\omega_p]. \quad (17)$$

Последнее равенство определяет область изменения m, s' и j . Коэффициент усиления транзистора K_e по току в схеме с общим эмиттером (только на горячих электронах) будет

$$K_e = (1-P)/P. \quad (18)$$

Наиболее просто получить решение рекуррентной системы дифференциальных уравнений (5), которое соответствует бесфононному испусканию n плазмонов. Если $n=0$, то решение уравнения (5) с функцией генерации (15) будет

$$f_{0,0}^0(\mu, x) = \frac{2Q_0}{v_{0,0}} e^{-\alpha_{0,0}|x|} [\Theta(x)\delta(1-\mu) + \Theta(-x)\delta(1+\mu)], \quad (19)$$

где $\alpha_{0,0} = v_{0,0}/v_{0,0}$, $\Theta(x)$ — ступенчатая функция Хевисайда. Если $n > 0$, то функция генерации описывается формулой (10), т. е. выражается через предшествующую функцию распределения. Тогда формальное решение уравнения (5) будет

$$f_{n,0}^0(\mu, x) = \frac{v_{n-1,0}}{v_{n,0}|\mu|} \left((\Theta\mu) \int_{-b}^x e^{-\frac{\alpha_{n,0}(x-x')}{\mu}} f_{n-1,0}^0(x') dx' + \right. \\ \left. + \Theta(-\mu) \int_x^b e^{-\frac{\alpha_{n,0}(x'-x)}{\mu}} f_{n-1,0}^0(x') dx' \right), \quad (20)$$

$$\alpha_{n,j} = v_{n,j}/v_{n,j}. \quad (21)$$

В результате получилось рекуррентное интегральное соотношение, выражающее последующую функцию через предыдущую, причем начальная функция дается согласно (19). Дальнейшее преобразование этого соотношения возможно в том случае, когда

$$(\alpha_{n,j} - \alpha_{n-1,j})b \ll 1. \quad (22)$$

Для субмикронных толщин это неравенство хорошо выполняется. Тогда соотношение (20) допускает явное решение, которое является обобщением формулы Пуассона на случай слабо переменной длины свободного пробега:

$$f_{n,0}^0(\mu, x) = \frac{2Q_0}{v_{n,0}} \left(\prod_{i=0}^{n-1} \alpha_{i,0} \right) \frac{|x|^n}{n!} e^{-\beta_{n,0}|x|} [\Theta(x)\delta(1-\mu) + \Theta(-x)\delta(1+\mu)], \quad (23)$$

$$\beta_{n,j} = \frac{1}{n+1} \sum_{i=0}^n \alpha_{i,j}. \quad (24)$$

Используя (23) и (16), можно найти вероятность остывания электронов в базе за счет испускания только одних плазмонов:

$$p_0 = p_{N, 0}^0 = \frac{\prod_{i=0}^N \alpha_{i, 0}}{(\beta_{N, 0})^{N+1}} \frac{1}{N!} \int_0^{\Phi_{N, 0}^0} e^{-y} y^N dy. \quad (25)$$

4. Решение кинетического уравнения для однократного рассеяния электронов на оптических фононах. Рассмотрим случай, когда электрон испускает m плазмонов, двигаясь по центральной лестнице (рис. 4), затем рассеивается на оптическом фононе и далее испускает s плазмонов, двигаясь по боковой лестнице. При этом он остывает до энергии порядка $k_B T$. Найдем функцию $f_{m, j}^s$, которая, согласно (16), определяет вероятность $p_{m, j}^s$ остывания электрона в базе. Для этого следует сначала найти функцию $f_{m, 0}^0$, которая описывает электроны, испустившие пуг из m плазмонов перед рассеянием на фононах. Она описывается формулой (23) при $n=m$. После рассеяния на фононе возникает следующий пуг испускания s плазмонов. Начальная функция генерации этого пуга дается формулой (14).

Подставляя туда (23) и (12), получим формулу для начальной функции генерации второго пуга

$$g_{m, j}^0 (\mu, x) = \frac{Q_0 \hbar \Omega}{2a_B^* E_{m, 0}} \left(N_\Omega + \frac{j+1}{2} \right) \left(\prod_{i=0}^{m-1} \alpha_{i, 0} \right) \frac{|x|^m}{m!} e^{-\beta_{m, 0}|x|} \times \\ \times \left[\frac{\Theta(x)}{I_{m, 0}^j - \mu} + \frac{\Theta(-x)}{I_{m, 0}^j + \mu} \right]. \quad (26)$$

Кинетическое уравнение, описывающее новый пуг плазмонов, будет иметь форму

$$\mu v_{m+i, j} \frac{\partial f_{m, j}^i}{\partial x} + v_{m+i, j}^\omega f_{m, j}^i = g_{m, j}^i \quad (27)$$

с функцией генерации

$$g_{m, j}^i = \begin{cases} g_{m, j}^0 & \text{при } i = 0, j \neq 0, \\ v_{m, j}^\omega f_{m, j}^{i-1} & \text{при } i \geq 1, j \neq 0, \end{cases} \quad (28)$$

где $g_{m, j}^0$ дается (26). Решение уравнений для второго пуга удобно проводить, используя функцию Грина $\Phi_{m, j}^i (\mu, x, y)$ уравнения (27)

$$f_{m, j}^i (\mu, x) = A_{m, j} \int_{-b}^b dy |y|^m \exp(-\beta_{m, j}|y|) D_{m, j}(y) \Phi_{m, j}^i (\mu, x, y), \quad (29)$$

где

$$A_{m, j} = \frac{Q_0 \hbar \Omega}{2a_B^* E_{m, 0}} \left(N_\Omega + \frac{j+1}{2} \right) \frac{1}{m!} \prod_{n=0}^{m-1} \alpha_{n, 0}, \quad (30)$$

$$D_{m, j}(y) = \Theta(y)/(I_{m, 0}^j - \mu) + \Theta(-y)/(I_{m, 0}^j + \mu). \quad (31)$$

Функции Грина $\Phi_{m, j}^i (\mu, x, y)$ удовлетворяют уравнениям

$$\mu v_{m+i, j} \frac{\partial \Phi_{m, j}^i}{\partial x} + v_{m+i, j}^\omega \Phi_{m, j}^i = \begin{cases} \delta(x-y) & \text{при } i = 0, j \neq 0, \\ v_{m+i-1, j}^\omega \Phi_{m, j}^{i-1} & \text{при } i \geq 1, j \neq 0. \end{cases} \quad (32)$$

Решение $\Phi_{m, j}^0$ для начальной функции плазмонного пуга ($i=0$) будет

$$\Phi_{m, j}^0 = \frac{\alpha_{m, j}}{v_{m, j}^\omega |\mu|} \exp\left(-\frac{\alpha_{m, j}|x-y|}{|\mu|}\right) Z(\mu, x-y), \quad (33)$$

$$Z(\mu, x-y) = \Theta(x-y)\Theta(\mu) + \Theta(y-x)\Theta(-\mu). \quad (34)$$

Далее, используя формулу (20) и условие (21), получим решение, аналогичное (23) для функции Грина,

$$\Phi_{m, j}^s = \frac{|x - y|^s \prod_{n=m}^{m+s} \alpha_{n, j}}{\sqrt[m+s]{\alpha_{m+s, j} |\mu|^{s+1} s!}} e^{-\frac{\beta}{|\mu|} |x+y|} Z(\mu, x - y), \quad (35)$$

где

$$\beta \equiv \frac{1}{s+1} \sum_{n=m}^{m+s} \alpha_{n, j}. \quad (36)$$

Используя (34) и (29), нетрудно получить выражение для $f_{m, j}^s(\mu, x)$; интегрируя его по μ и x , согласно (16), получаем вероятность $P_{m, j}^s$:

$$P_{m, j}^s = B_{m, s}^j \frac{1}{2} \int_{-1}^1 \frac{d\mu}{|\mu|} \int_{-b}^b dx \int_{-b}^b dy D_{m, j}(y) Z(\mu, x - y) \varphi(y) \psi\left(\frac{x-y}{|\mu|}\right). \quad (37)$$

Здесь функции $D_{m, j}$ и Z определяются формулами (31) и (34);

$$B_{m, s}^j = \frac{\hbar\Omega}{4a^*_B E_{m, 0}} \left(N_\Omega + \frac{j+1}{2} \right) \frac{1}{s!} \left(\prod_{n=0}^{m-1} \alpha_{n, 0} \right) \prod_{n=m}^{m+s} \alpha_{n, j}, \quad (38)$$

$$\varphi(y) = |y|^m \exp(-\beta_{m, 0} |y|); \quad \psi(z) = |z|^s \exp(-\beta |z|). \quad (39)$$

Используя явный вид выражений (31) и (34) для $D_{m, j}$ и Z , можно преобразовать трехкратный интеграл в (37) в двухкратный:

$$P_{m, j}^s = \frac{B_{m, s}^j}{\beta(s+2)} (\mathcal{K}_1 + \mathcal{K}_2 + \mathcal{L}_1 + \mathcal{L}_2), \quad (40)$$

где

$$\mathcal{K}_1 = \int_0^1 \frac{d\mu}{\mu} \ln\left(\frac{1}{I_{m, 0}^j - \mu}\right) \int_0^{\beta b} dz \left(\frac{\beta b - z}{\mu}\right)^{s+1} z^m e^{-\eta z} e^{-\frac{\beta b - z}{\mu}}, \quad (41)$$

$$\mathcal{K}_2 = \int_0^1 \frac{d\mu}{\mu} \ln(I_{m, 0}^j + \mu) \int_0^{\beta b} dz \left(\frac{\beta b + z}{\mu}\right)^{s+1} z^m e^{-\eta z} e^{-\frac{\beta b + z}{\mu}}; \quad (42)$$

$$\mathcal{L}_1 = \ln\left(\frac{1}{I_{m, 0}^j - 1}\right) \int_0^{\beta b} dz (\beta b - z)^m e^{-\eta(\beta b - z)} \int_0^z dy y^s e^{-y},$$

$$\mathcal{L}_2 = \ln(I_{m, 0}^j + 1) \int_0^{\beta b} dz z^m e^{-\eta z} \int_0^{\beta b + z} dy y^s e^{-y}.$$

Здесь

$$\eta = \beta_{m, 0}/\beta. \quad (43)$$

В заключение приведем развернутое выражение для полной вероятности остыивания электрона в базе

$$P = p_0 + p_1 + p_{-1}, \quad p_1 = \sum_{m=0}^{M^{(1)}} p_{m, 1}^s, \quad p_{-1} = \sum_{m=0}^{M^{(-1)}} p_{m, -1}^s, \quad (44)$$

где p_0 дается формулой (25), а $p_{m, j}^s$ при $j = \pm 1$ — выражением (40). Верхние пределы $M^{(1)}$ и $M^{(-1)}$ будут

$$M^{(1)} = \text{Int}[(E - k_B T - \hbar\Omega)/\hbar\omega_p], \quad M^{(-1)} = \text{Int}[(E - k_B T)/\hbar\omega_p]. \quad (45)$$

Число плазмонов s второго цуга при испускании фона, согласно (14) и (45), дается выражением

$$s = M^{(1)} - m, \quad (46)$$

а число плазмонов второго цуга при поглощении фона — второй из формул (14)

$$s = \text{Int}[(E + \hbar\Omega - k_B T)/\hbar\omega_p] - m. \quad (47)$$

Как известно [7], плазмоны возбуждаются в плаэме, если плазменная частота ω_p превышает частоту столкновений дырок ν_h , которую можно выразить через их подвижность μ_h ; $\nu_h = e/m_h \mu_h$. Следовательно, если концентрация дырок в базе удовлетворяет неравенству

$$N_A > \epsilon_0 / 4\pi m_h \mu_h^2, \quad (48)$$

то плазмоны хорошо возбуждаются в дырочной плаэме базы (m_h — масса тяжелой дырки). Например, для GaAs при $\mu_h = 400 \text{ см}^2/\text{с}$. В $N_A > 2 \cdot 10^{17} \text{ см}^{-3}$.

Как показано в [8, 1], потери энергии на единице пути быстрого электрона описываются практически одинаковыми формулами для потерь на плазмонах и на тяжелых дырках. Это означает, что для учета механизма потерь на тяжелых дырках следует фактически вдвое увеличить частоту испускания плазмонов горячими электронами.

Л и т е р а т у р а

- [1] Константинов О. В., Мезрин О. А. // ФТП. 1985. Т. 19. В. 11. С. 1991—1999.
- [2] Рыжий В. И. // Микроэлектрон. 1987. Т. 16. В. 5. С. 387—396.
- [3] Imanaga S., Kawai H., Kaneko K., Watanabe N. // J. Appl. Phys. 1986. V. 59. N 9. P. 3281—3285.
- [4] Баннов Н. А., Рыжий В. И., Святченко А. А. // Письма ЖТФ. 1984. Т. 10. В. 18. С. 1106—1110.
- [5] Hao-Hsiung Lin, Si-Chen Lee // Appl. Phys. Lett. 1985. V. 47. N 8. P. 839—841.
- [6] Gazarre A., Tasselli J., Marty A., Bailbe J. P., Rey G. // Electron. Lett. 1985. V. 21. N 24. P. 1124—1126.
- [7] Платцман Ф., Вольф П. Волны и взаимодействия в плаэме твердого тела. М., 1975. 371 с.
- [8] Дьяконов М. И., Перель В. И., Яссиевич И. Н. // ФТП. 1977. Т. 11. В. 7. С. 1364—1371

Физико-технический институт
им. А. Ф. Иоффе АН СССР
Ленинград

Получена 21.09.1988
Принята к печати 28.10.1988